

Figura 5.1

$$M_{t\text{calcul}} = k_i \cdot k_s \cdot M_t$$

(5.1)

Tabelul 5.1

Tipul masinii antrenate	$k_s$
Generatoare electrice	1 - 2
Ventilatoare	1,25 - 2
Pompe centrifuge si cu piston; compresoare cu piston	1,75 - 3,5
Masini-unelte	1,25 - 2,5
Masini-unelte pentru lemn; transportoare cu banda si cu lant	1,5 - 2
Transportoare cu role	4
Masini de ridicat; elevatoare	3 - 5

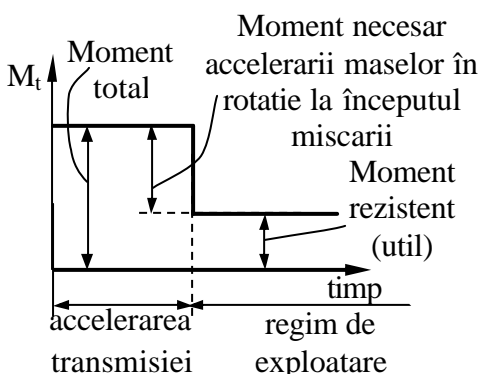


Figura 5.2.a

$$J_1 \cdot \omega_1 + J_2 \cdot \omega_2 - (J_1 + J_2) \cdot \omega_c = 0$$

$$\Delta E_c = \frac{J_1 \cdot \omega_1^2}{2} + \frac{J_2 \cdot \omega_2^2}{2} - \frac{(J_1 + J_2) \cdot \omega_c^2}{2}$$

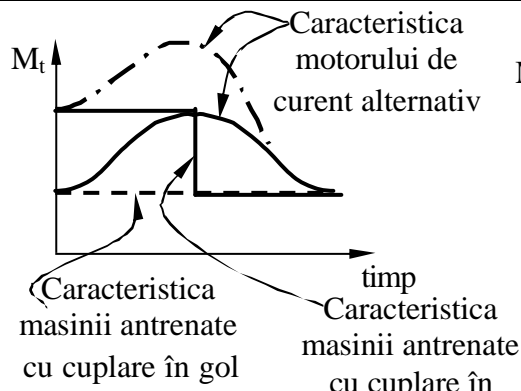


Figura 5.2.b

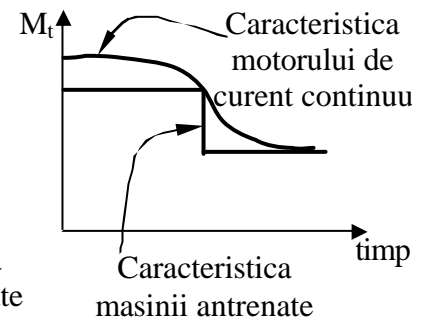


Figura 5.2.c

(5.2)

(5.3)

$$\omega_c = \frac{J_1 \cdot \omega_1 + J_2 \cdot \omega_2}{J_1 + J_2} \quad (5.4)$$

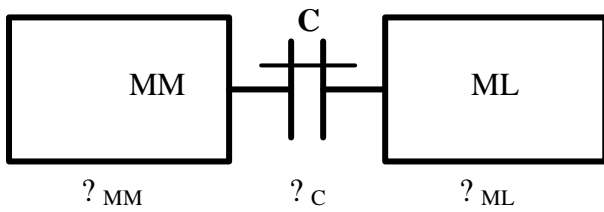


Figura 5.3.a

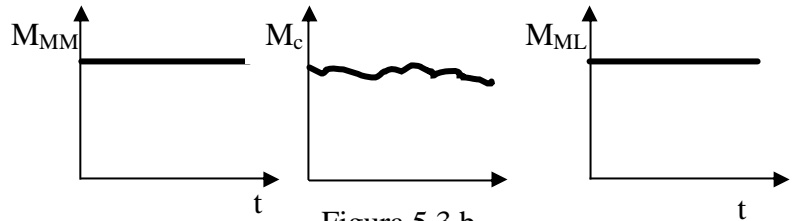


Figura 5.3.b

$$\Delta E_c = \frac{J_1 \cdot J_2}{2 \cdot (J_1 + J_2)} \cdot (\omega_1 - \omega_2)^2 = \frac{J_1 \cdot J_2}{2 \cdot (J_1 + J_2)} \cdot (\Delta \omega)^2 \quad (5.5)$$

$$\Delta E_c = \frac{1}{2} \cdot M_s \cdot \phi \quad (5.6)$$

$$M_s = c_t \cdot \phi \quad (5.7)$$

$$M_s = \sqrt{2} \cdot (\Delta \omega) \cdot \sqrt{c_t} \cdot \sqrt{\frac{J_1}{1 + \frac{J_1}{J_2}}} \quad (5.8)$$

Tabelul 5.2

Denumirea	Figura	Caracteristici si elemente constructive
Cuplaj cu manson monobloc	5.4 a	Momentul de torsiune se transmite prin intermediul stifturilor. Turatii acceptate: 200 ... 250 rot/min. Diametrele arborilor cuplati sunt cuprinse între 5 si 500 mm.
	5.4 b	Momentul de torsiune se transmite prin intermediul penelor sau canelurilor. Turatii acceptate: 200 ... 250 rot/min. Diametrele arborilor cuplati sunt între 5 si 500 mm.
	5.4 c	Momentul de torsiune se transmite prin frictiune, cu ajutorul strângerii exercitate de asamblarile pe con si prin pene paralele. Transmit momente de torsiune de 500 ... 1700 Nm. Diametrele arborilor cuplati sunt cuprinse între 10 si 70 mm.
	5.4 d	Momentul de torsiune se transmite prin frictiune, cu ajutorul strângerii exercitate de asamblarile pe con. Transmit momente de torsiune de 500 ... 1700 Nm. Diametrele arborilor cuplati sunt cuprinse între 10 si 70 mm.
	5.4 e	Momentul de torsiune se transmite prin frictiune, cu ajutorul strângerii exercitate de asamblarea pe con cu ulei sub presiune. Diametrele arborilor cuplati sunt cuprinse între 25 si 1000 mm.
Cuplaj cu manson din doua bucati	5.5	Asamblarea semimansoanelor se face cu suruburi, în vederea transmiterii momentului de torsiune prin frictiune. Pentru siguranta se utilizeaza si pene paralele. Pentru arbori verticali, penele paralele sunt prevazute cu ciocuri la ambele capete. Diametrele arborilor cuplati sunt cuprinse între 18 si 200 mm.

$$\tau_t = \frac{M_c}{\frac{\pi \cdot (D^4 - d^4)}{16 \cdot D}} \leq \tau_{ta} \quad (5.9)$$

$$M_{t \text{ calcul}} = M_t \cdot c_s \quad (5.10)$$

$$F_1 = \frac{2 \cdot M_{t \text{ calcul}}}{D_1 \cdot n_s} \quad (5.11)$$

$$\sigma_s = \frac{F_1}{d_2 \cdot l_{c \text{ min}}} \leq \sigma_{s a} = 80 \dots 120 \text{ MPa} \quad (5.12)$$

$$\tau_f = \frac{4 \cdot F_1}{\pi \cdot d_2^2} \leq \tau_{f a} = 50 \dots 80 \text{ MPa} \quad (5.13)$$

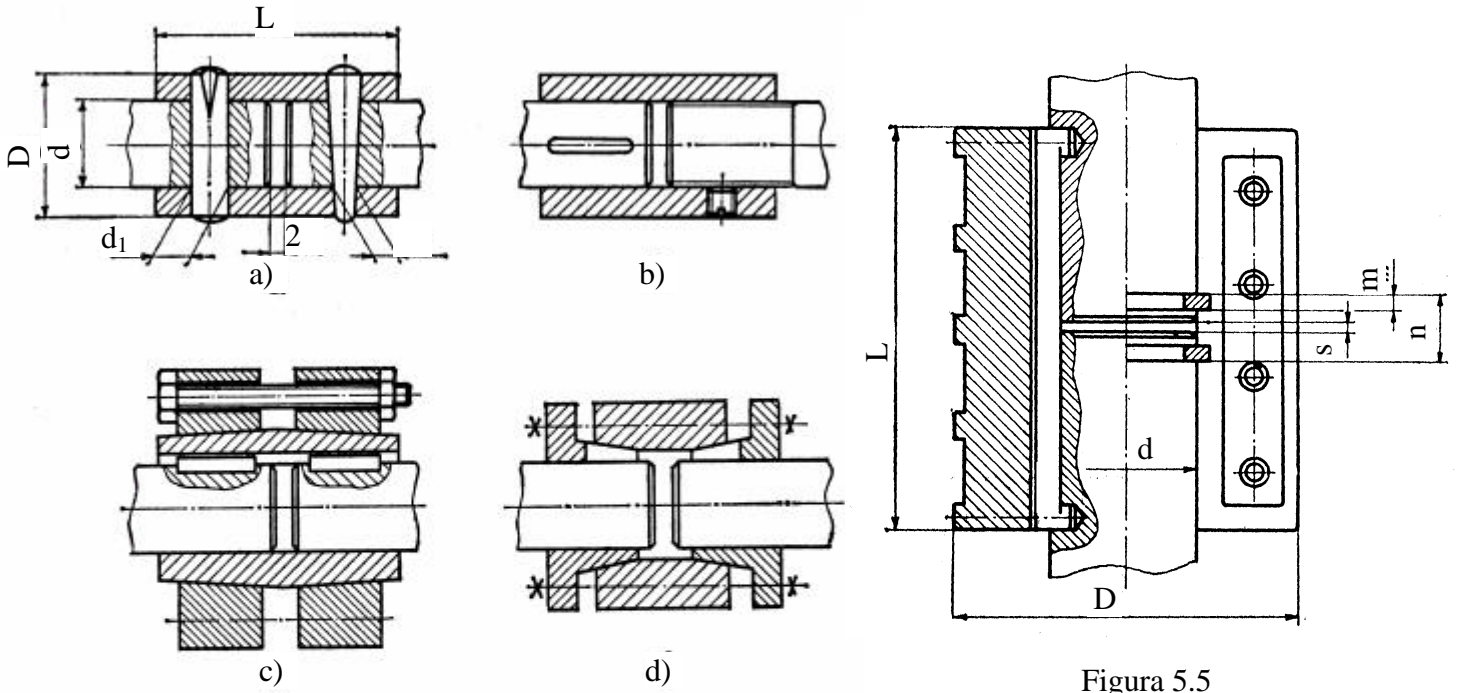


Figura 5.5

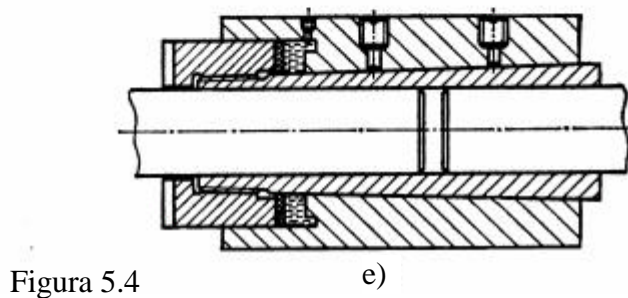


Figura 5.4

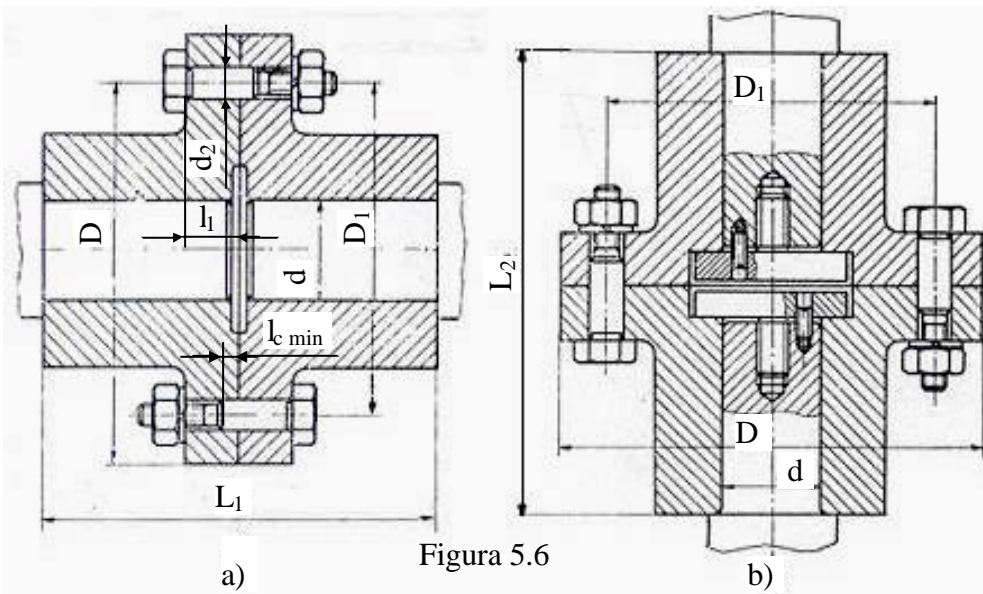


Figura 5.6

Tabelul 5.3

Diametrul arborelui - $d$	Numarul de dinti - $z$
$d = 30 \text{ mm}$	12
$30 \dots 60 \text{ mm}$	24 sau 36
$60 \dots 120 \text{ mm}$	36 sau 48
$d > 120 \text{ mm}$	72 sau 96

$$\sigma_i = \frac{6 \cdot M_{tc} \cdot h_m}{D_m \cdot z \cdot b \cdot a_m^2} \leq \sigma_{ai} \tag{5.14}$$

$$\sigma_s = \frac{2 \cdot M_{tc}}{D_m \cdot b \cdot z \cdot h_m} \leq \sigma_{as} \tag{5.15}$$

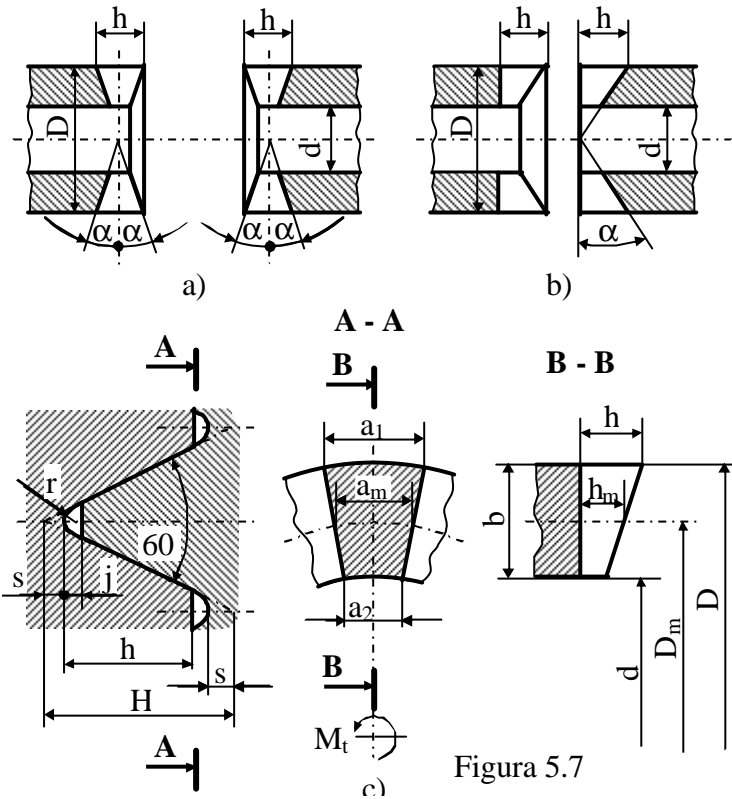


Figura 5.7

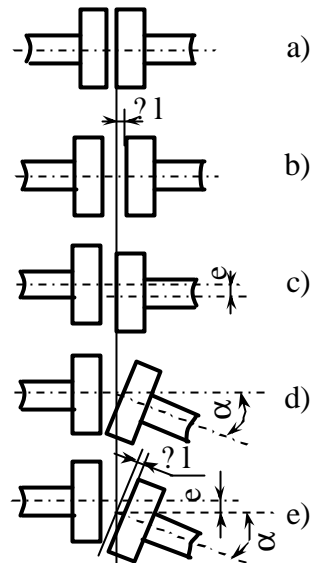


Figura 5.8

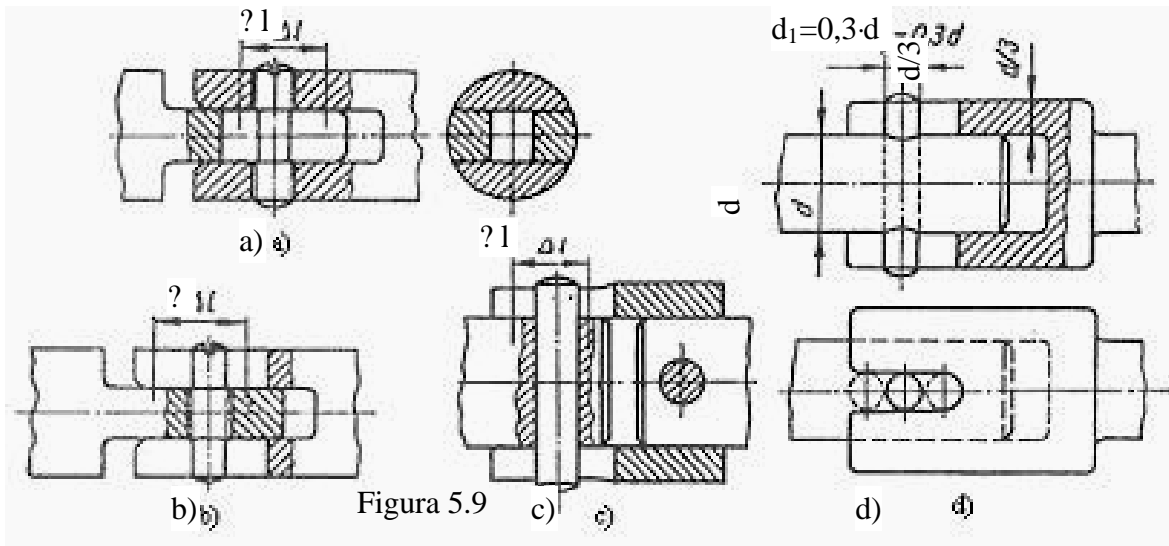


Figura 5.9

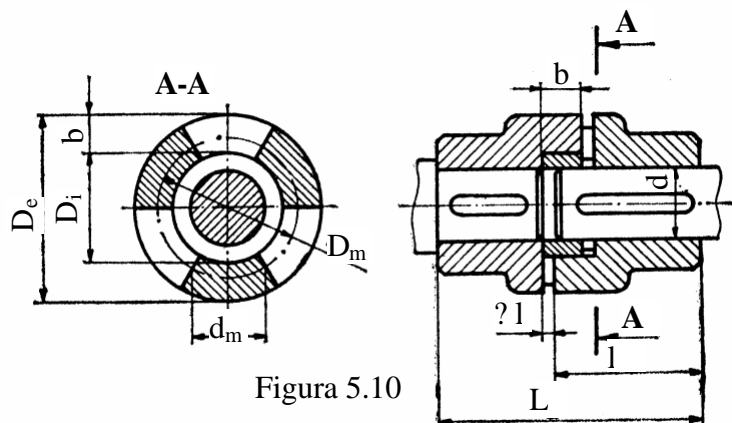


Figura 5.10

$$F_a = \frac{4 \cdot \operatorname{tg} \alpha \cdot M_{tc}}{D_m} \tag{5.16}$$

$$\sigma_i = \frac{6 \cdot M_{tc} \cdot h_m}{D_m \cdot z \cdot b \cdot a_m^2} \leq \sigma_{ai} \tag{5.17}$$

$$\sigma_s = \frac{2 \cdot M_{tc}}{D_m \cdot b \cdot z \cdot h_m} \leq \sigma_{as} \tag{5.18}$$

$$\eta = (1 \dots 5,3) \cdot \mu \cdot e \cdot (D+d) \tag{5.19}$$

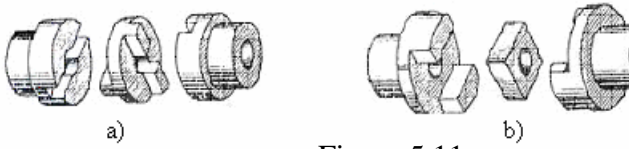


Figura 5.11

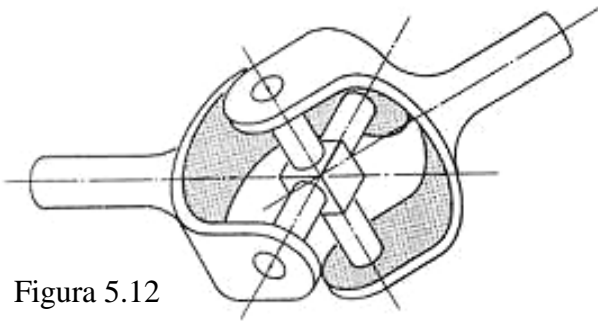


Figura 5.12

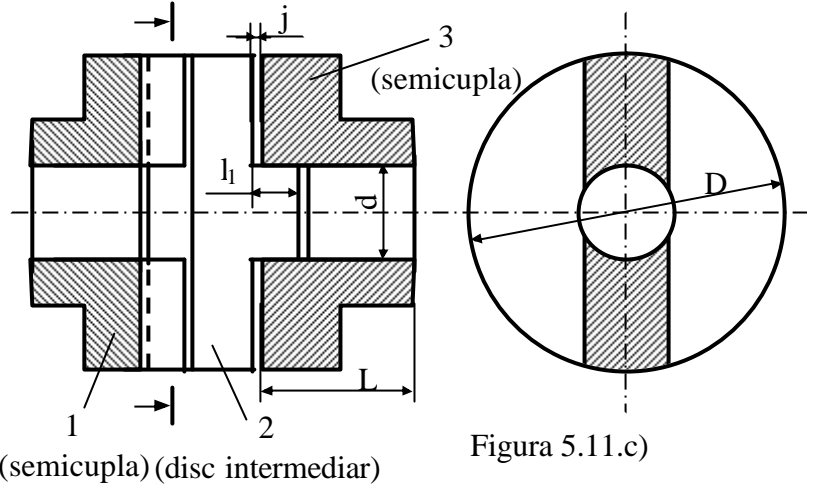


Figura 5.11.c

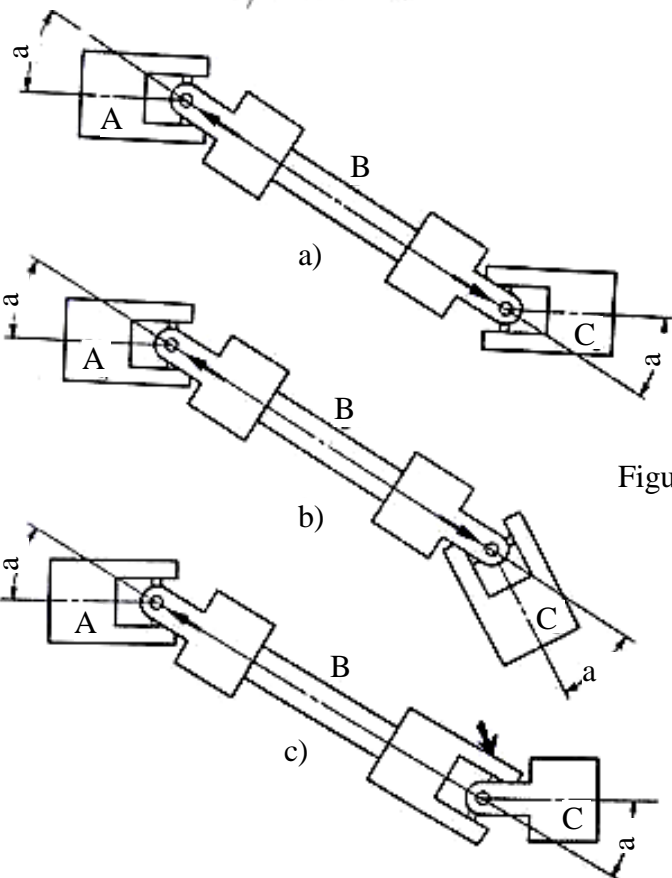


Figura 5.13

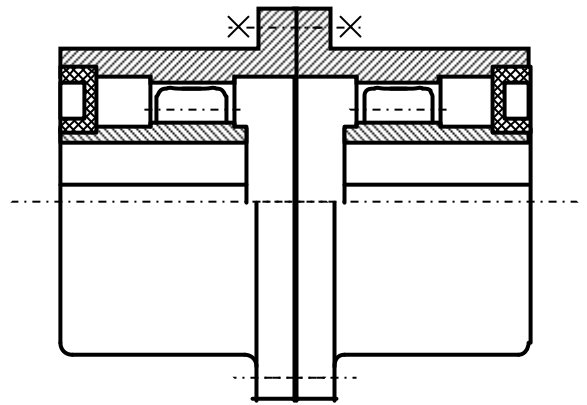


Figura 5.14

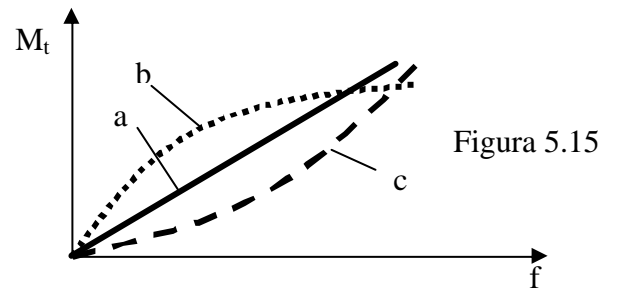


Figura 5.15

$$\sigma_s = \frac{12 \cdot M_t}{h \cdot (2 \cdot D + d - e) \cdot (D - d - 2e)} \leq \sigma_{as} \tag{5.20}$$

$$\omega_2 = \left( \frac{\operatorname{tg} \phi_1 \cdot \sin \alpha}{\cos^2 \phi_1 \cdot \operatorname{tg}^2 \phi_1} \cdot \frac{d\alpha}{dt} + \frac{\cos \alpha}{\cos^2 \phi_1 \cdot \cos^2 \alpha + \sin^2 \phi_1} \right) \cdot \omega_1 \tag{5.21}$$

$$\omega_2 = \frac{\cos \alpha}{\cos^2 \phi_1 \cdot \cos^2 \alpha + \sin^2 \phi_1} \cdot \omega_1 \tag{5.22}$$

Pentru  $f_1 = 0^\circ$ ,  $\omega_2 = \omega_{2\max} = \frac{\omega_1}{\cos \alpha}$ , iar pentru  $f_1 = 90^\circ$ ,  $\omega_2 = \omega_{2\min} = \omega_1 \cdot \cos \alpha$ .

$$C = \frac{M_t}{\phi} \tag{5.23}$$

$$C = \frac{dM_t}{d\phi} \tag{5.24}$$

$$M_t = k \cdot \phi + \gamma \cdot \phi^3 \tag{5.25}$$

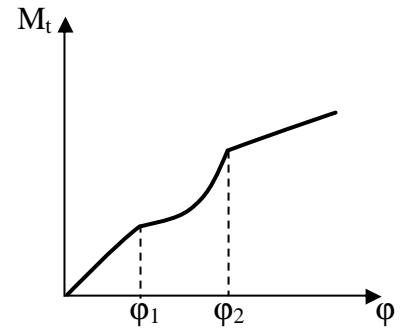
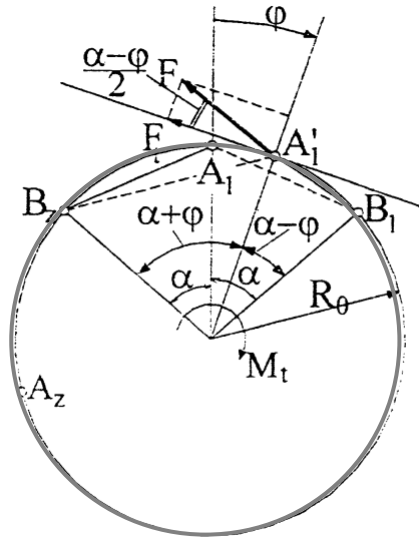
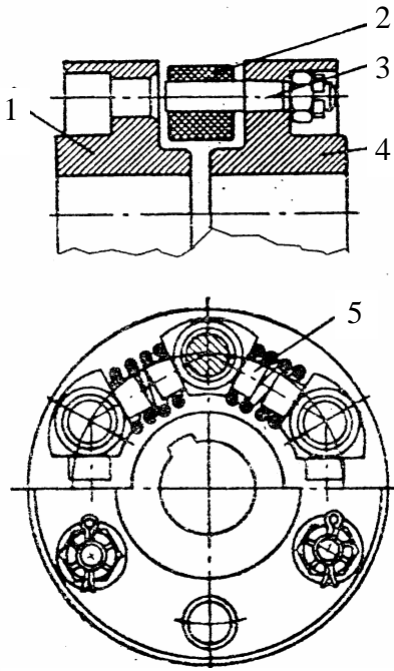


Figura 5.20

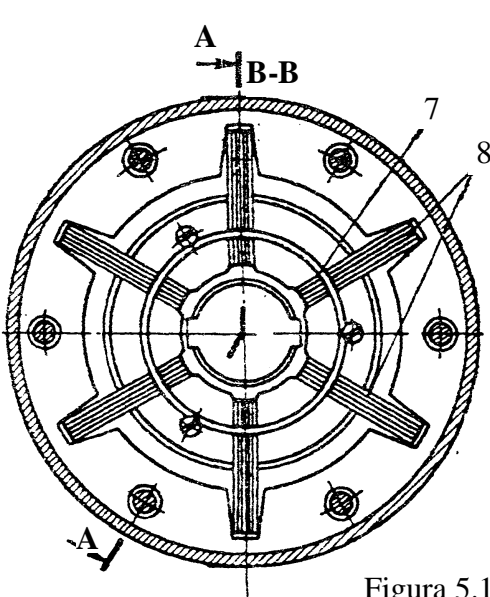


Figura 5.18

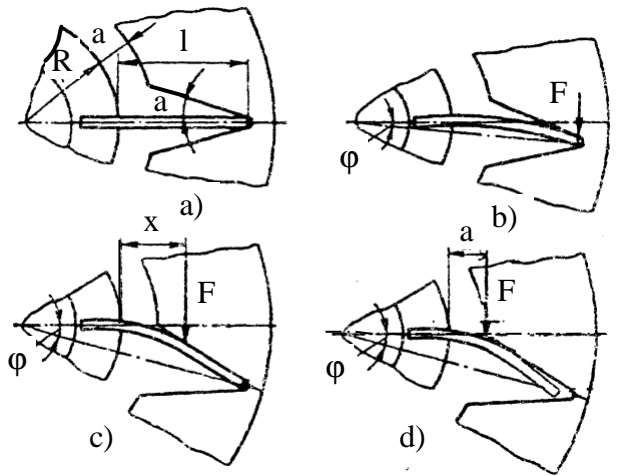
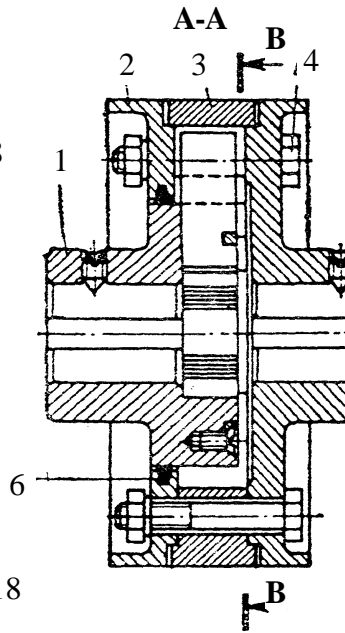


Figura 5.19

$$M_t = z \cdot F_t \cdot R_0 \tag{5.26}$$

$$F_t = \frac{F \cdot \cos(\alpha - \phi)}{2} \tag{5.27}$$

$$f = \frac{8D^3 n F}{G d^4} \tag{5.28}$$

$$f = 2 \cdot R_0 \cdot \sin \frac{\phi}{2} - 2 \cdot R_0 \cdot \sin \frac{(\alpha - \phi)}{2} \tag{5.29}$$

$$M_t(\phi) = \frac{z \cdot G \cdot d^4 \cdot R_0^2}{4 \cdot D^3 \cdot n} \cdot \left( \sin \frac{\alpha}{2} - \sin \frac{\alpha - \phi}{2} \right) \cdot \cos \frac{\alpha - \phi}{2} \tag{5.30}$$

$$M(\phi) = \frac{3 \cdot E \cdot I \cdot (r+1)^2}{l^3} \cdot \phi \tag{5.31}$$

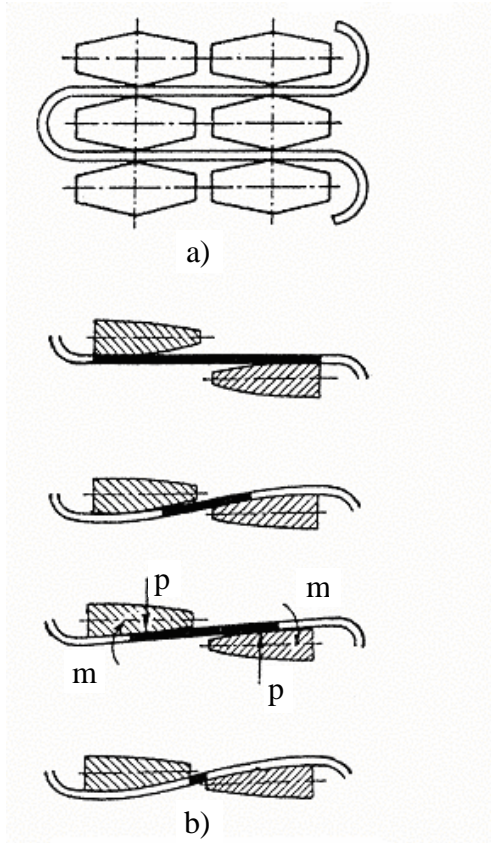


Figura 5.21

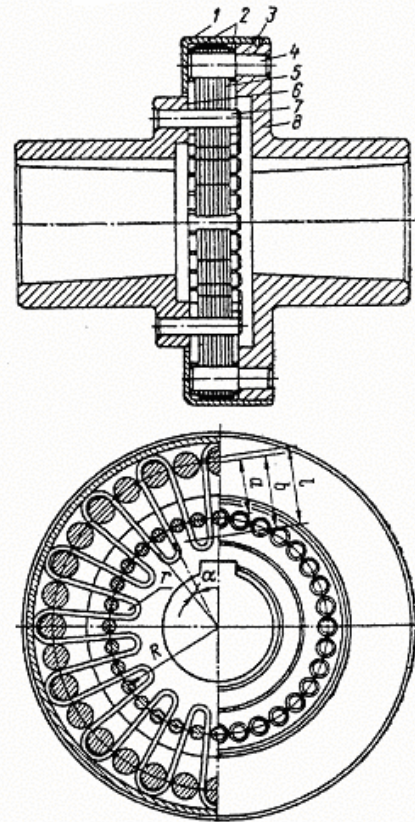


Figura 5.22

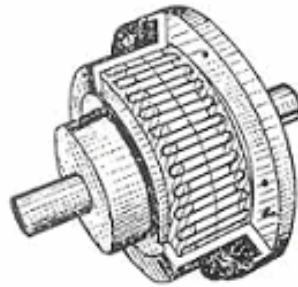


Figura 5.23

$$M_t = \frac{3 \cdot z \cdot E \cdot I \cdot D_0^2}{8 \cdot s^3} \cdot \phi \tag{5.32}$$

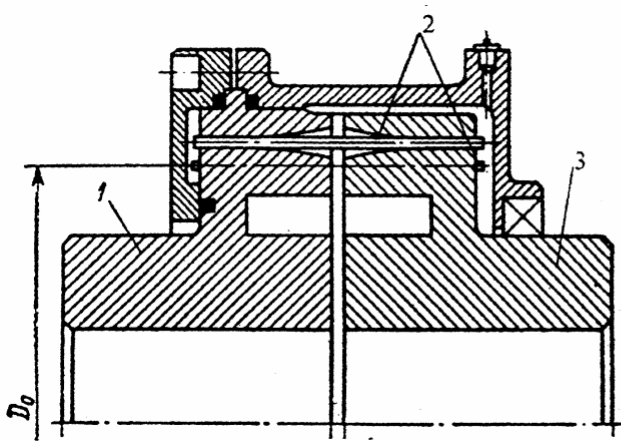


Figura 5.24

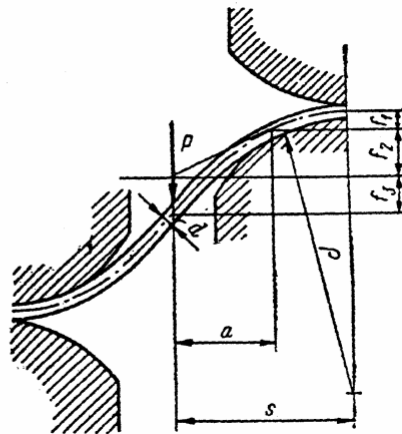


Figura 5.25

$$M_t = \frac{3 \cdot z \cdot E \cdot I \cdot D_0^2}{8 \cdot a^3} \cdot \left( \phi - \frac{2 \cdot (s^2 - a^2)}{\rho \cdot D_0} \right) \tag{5.33}$$

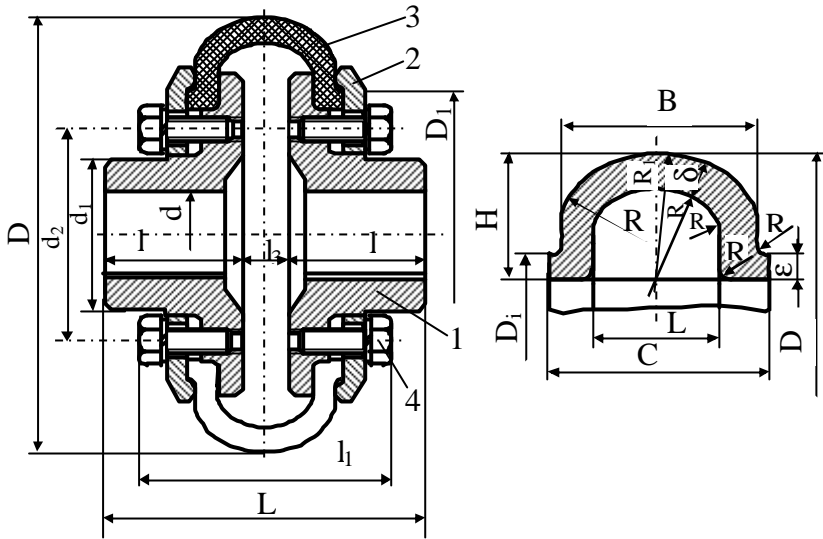


Figura 5.26

$$M_t(\phi) = K_c \cdot G \cdot D^3 \cdot \phi$$

(5.34)

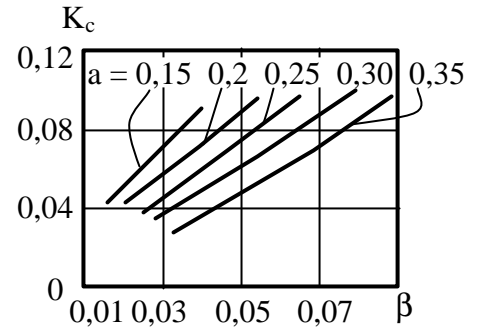


Figura 5.27

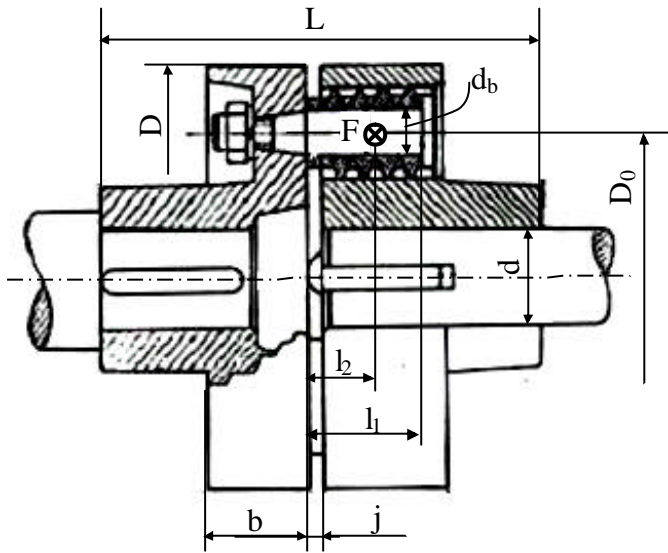


Figura 5.28

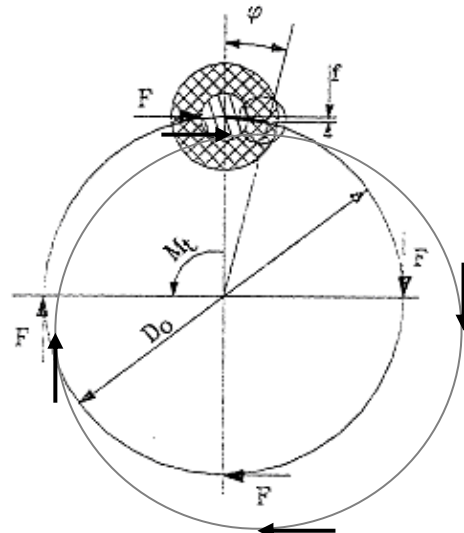


Figura 5.29

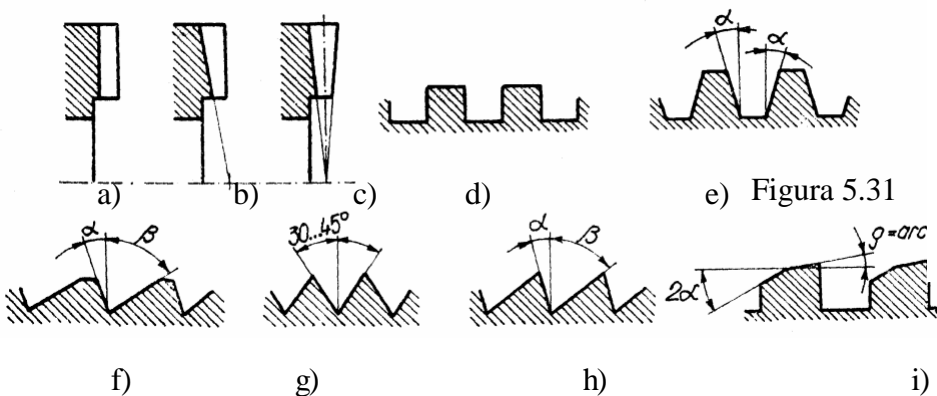


Figura 5.31

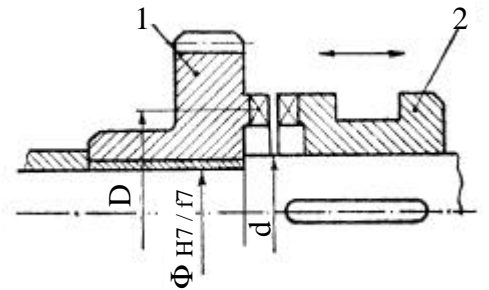


Figura 5.30

$$F = \frac{2 \cdot M_t}{z \cdot D_0} \tag{5.35}$$

$$F = c \cdot f^a \tag{5.36}$$

$$f = \frac{D_0}{2} \cdot \phi \tag{5.37}$$

$$M_t(\phi) = z \cdot c \cdot \left(\frac{D_0}{2}\right)^{a+1} \cdot \phi^a \tag{5.38}$$



$$\sigma_i = \frac{M_i}{W_i} = \frac{F \cdot l_2}{\frac{\pi \cdot d_b^3}{32}} \leq \sigma_{ai} = 60 \dots 80 \text{ MPa} \quad (5.39)$$

$$\sigma_s = \frac{F}{d_b \cdot (l_1 - j)} \leq \sigma_{sa} = 5 \dots 7 \text{ MPa} \quad (5.40)$$

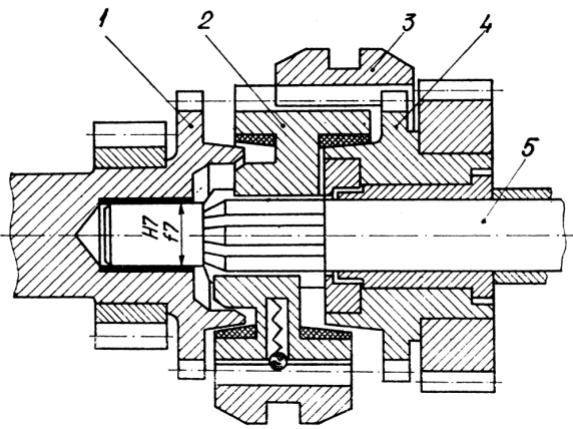


Figura 5.32

Arbore conductor

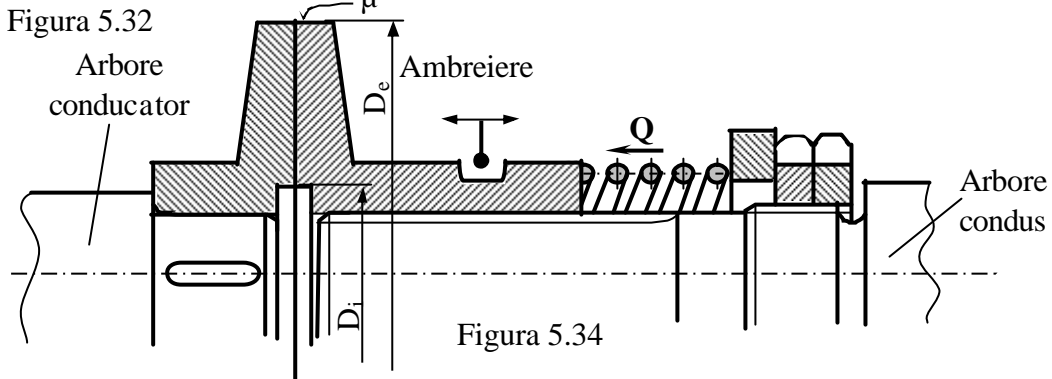


Figura 5.34

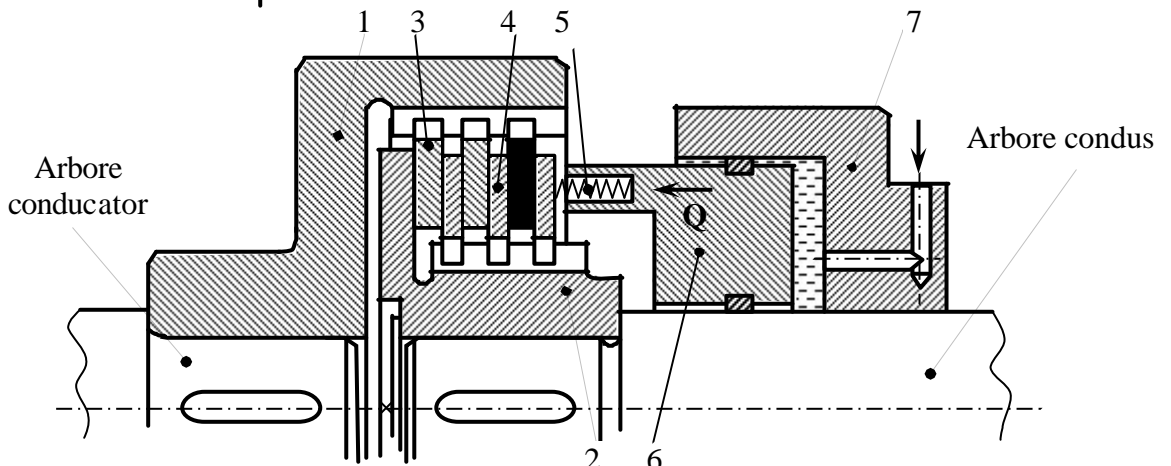


Figura 5.35

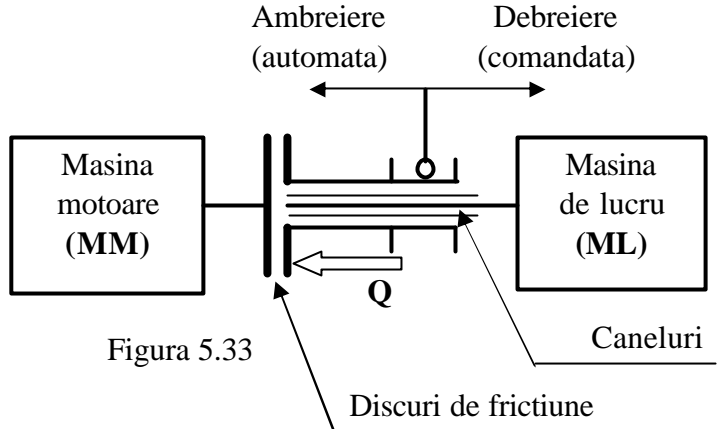


Figura 5.33

Tabelul 5.4

Regimul de frecare	
cu ungere	fara ungere
Otel calit / otel calit	-
Textolit / otel	-
Fc / Fc sau Fc / otel calit	
Bronz sinterizat / otel rectificat	
Tesatura de bumbac impregnata cu rasini sintetice / otel sau Fc	
Tesatura de azbest impregnata cu rasini sintetice / otel sau Fc	
Azbest presat cu rasini sintetice cu aschii de cupru sau de alama (ferodo) / otel sau Fc	
Cauciuc cu insertie metalica / otel sau Fc	
Materiale metalo-ceramice / otel calit	
Materiale din pulberi metalice / otel calit	

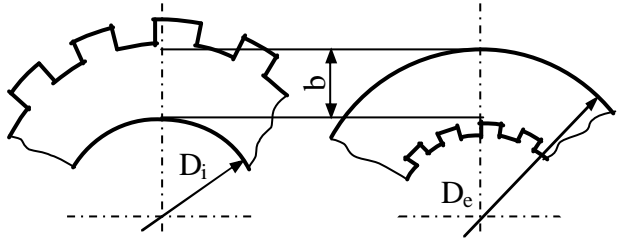


Figura 5.36

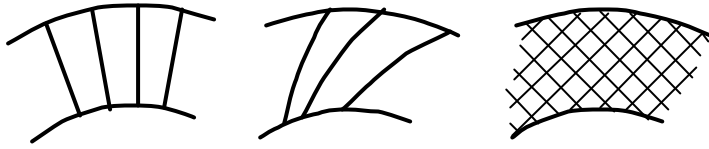


Figura 5.39

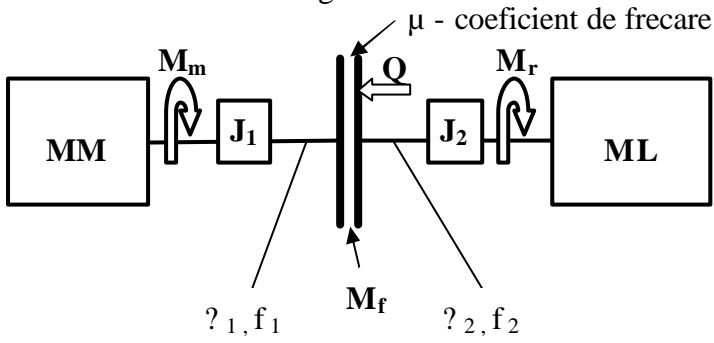


Figura 5.40

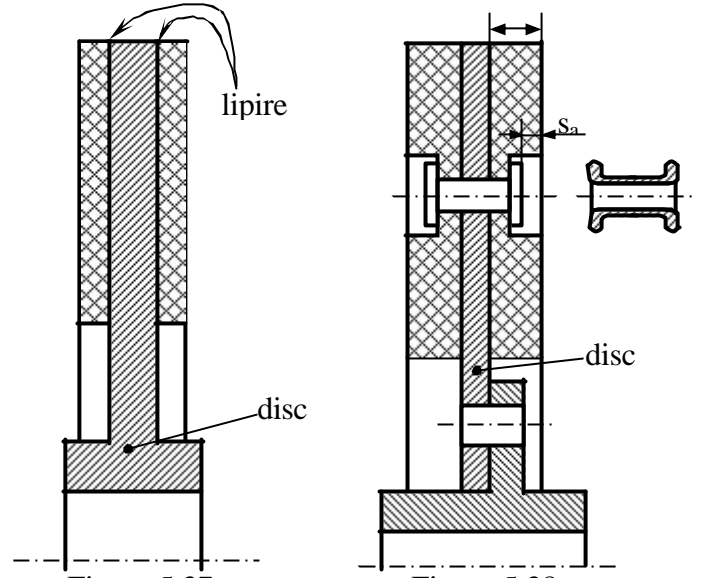


Figura 5.37

Figura 5.38

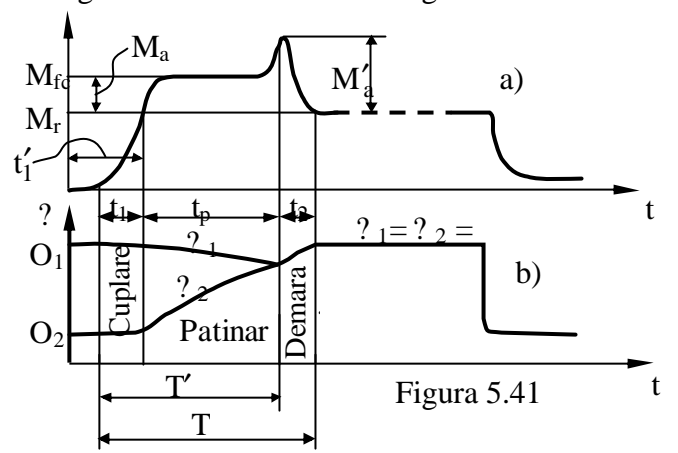


Figura 5.41

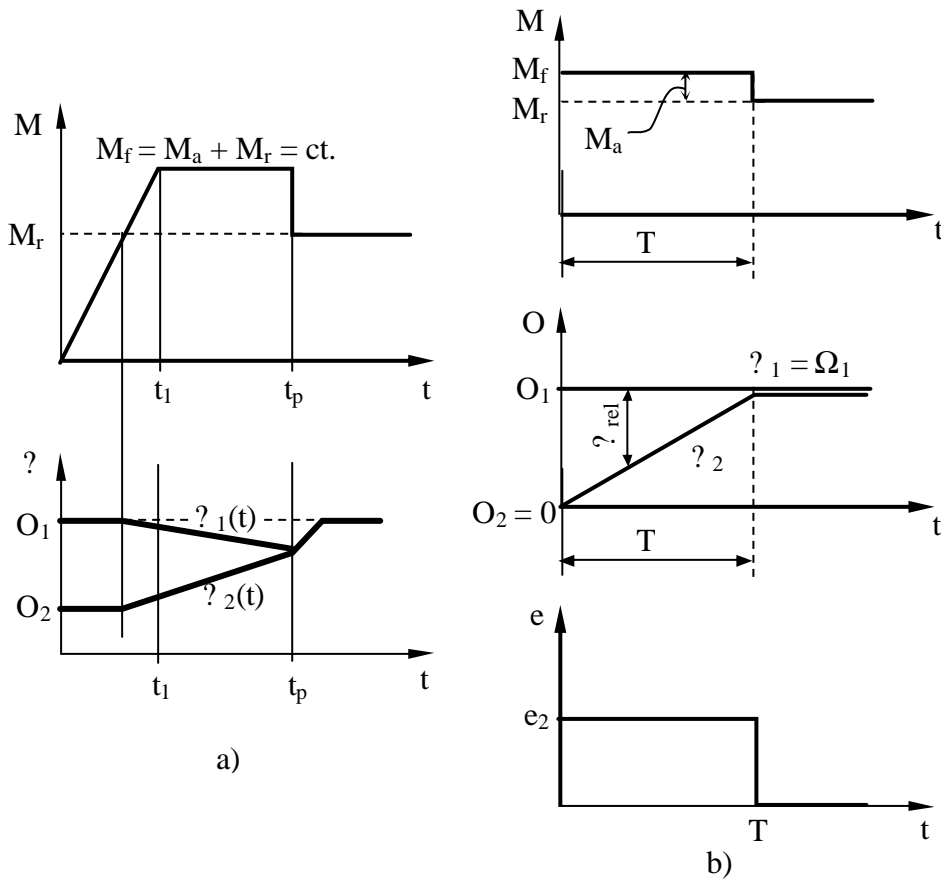


Figura 5.42

$$\begin{cases} J_1 \cdot \ddot{\phi}_1 + M_f = M_m \\ J_2 \cdot \ddot{\phi}_2 + M_r = M_f \end{cases} \quad (5.41)$$

$$\omega_1(t) = \frac{d\phi_1}{dt} = \frac{M_m - M_f}{J_1} \cdot t + \Omega_1 \quad (5.42)$$

$$\omega_2(t) = \frac{d\phi_2}{dt} = \frac{M_f - M_r}{J_2} \cdot t + \Omega_2 \quad (5.43)$$

$$\omega_r(t) = \omega_1(t) - \omega_2(t) \quad (5.44)$$

$$\omega_r(t) = \Omega_1 - \Omega_2 - \left( \frac{J_1 + J_2}{J_1 J_2} \cdot M_f - \frac{M_m}{J_1} + \frac{M_r}{J_2} \right) \cdot t \quad (5.45)$$

$$t_p = \frac{\Omega_1 - \Omega_2}{\frac{J_1 + J_2}{J_1 J_2} \cdot M_f - \frac{M_m}{J_1} - \frac{M_r}{J_2}} \quad (5.46)$$

$$\omega_r(t) = \Omega_1 - \left( \frac{M_f - M_r}{J_2} \cdot t + \Omega_2 \right) \quad (5.47)$$

$$t_p = \frac{\Omega_1 - \Omega_2}{M_f - M_r} \cdot J_2 \quad (5.48)$$

$$t_p = \frac{\Omega_1 \cdot J_2}{M_f} \quad (5.49)$$

$$M_f = \mu \cdot Q \cdot \frac{D_m}{2} \quad (5.50)$$

$$t_p = T = \frac{2 \cdot \Omega_1 \cdot J_2}{\mu \cdot Q \cdot D_m} \quad (5.51)$$

Tabelul 5.5

Timpul de ambreiere se reduce daca	Condițiile din coloana stânga atrag și efecte negative, astfel:
- viteza unghiulară $O_1$ este cât mai redusă	- reducerea vitezei unghiulare $O_1$ conduce la creșterea gabariturii mașinii motoare
- momentul de inerție redus $J_2$ are valori cât mai scăzute	- reducerea momentului de inerție $J_2$ – benefică, din punct de vedere al gabariturii, conduce la dificultăți în proiectarea mașinii de lucru care trebuie să fie cât mai compactă
- coeficientul de frecare $\mu$ este mare	- cerința alăturată poate fi respectată optând pentru un regim de frecare la limită sau pentru unul cu frecare uscată, dar uzura garniturilor de fricțiune este intensă și durabilitatea ambreiajului este modestă
- forța de ambreiere $Q$ este foarte mare	- consecința secundară a cerinței este supradimensionarea sistemului care asigură realizarea forței de ambreiere $Q$ (arcuri, rulment de presiune etc.) și, în plus, duce la solicitarea prin soc axial a întregului ansamblu
- diametrul mediu $D_m$ este mare, asadar și diametrul exterior este mare	- consecința cerinței alăturate este creșterea gabariturii radial al ansamblului

$$P_f(t) = M_f \cdot \omega_r(t) \quad (5.52)$$

$$W_f = \int_0^{t_p} P_f(t) dt = M_f \cdot \frac{(\Omega_1 - \Omega_2)^2 \cdot J_1 \cdot J_2}{2 \cdot [M_f \cdot (J_1 + J_2) - M_m \cdot J_2 - M_r \cdot J_1]} \quad (5.53)$$

$$W_f = M_f \cdot \frac{(\Omega_1 - \Omega_2)^2}{2 \cdot (M_f - M_r)} \cdot J_2 \quad (5.54)$$

$$W_m = M_m \cdot \Omega_1 \cdot t_p \quad (5.55)$$

$$\eta = 1 - \frac{W_f}{W_m} \quad (5.56)$$

$$W_m = M_m \cdot \Omega_1 \cdot \frac{\Omega_1 - \Omega_2}{M_f - M_r} \cdot J_2 \quad (5.57)$$

$$\eta = 1 - \frac{1}{2} \cdot \frac{M_f}{M_m} \cdot \frac{\Omega_1 - \Omega_2}{\Omega_1} \quad (5.58)$$

$$\eta = 1 - \frac{1}{2} \cdot \frac{M_f}{M_m} \quad (5.59)$$

$$P_f = \frac{W_f \cdot z}{3600} \quad [\text{W}] \quad (5.60)$$

$$M_f = M_r \cdot c_i \cdot c_s \quad (5.61)$$

Tabelul 5.6

$c_i$		$c_s$	
1,0	daca avariarea ambreiajului conduce la oprirea masinii	1,0	daca masina de lucru are un mers uniform
1,2	daca avariarea ambreiajului conduce la avariarea masinii	1,0 ... 1,6	daca masina de lucru are un mers neuniform
1,6	daca avariarea ambreiajului conduce la avariarea mai multor masini	1,6 ... 2,5	daca masina de lucru are un mers puternic neuniform
2,0	daca avariarea ambreiajului poate conduce la pierderi de vietii omenesti		

$$M_f = \frac{1}{3} \cdot \mu \cdot Q \cdot \frac{D_e^3 - D_i^3}{D_e^2 - D_i^2} \quad (5.62)$$

$$Q = \frac{\pi}{4} \cdot p \cdot (D_e^2 - D_i^2) \quad (5.63)$$

$$D_e \geq \left[ \frac{12 \cdot M_f}{p_a \cdot \mu \cdot (1 - k^3)} \right]^{\frac{1}{3}} \quad (5.64)$$

$$Q = \frac{\pi}{4} \cdot p_a \cdot (D_e^2 - D_i^2) \quad (5.65)$$

$$t_{\text{mediu}} = t_0 + \frac{P_f}{k \cdot A_c} \leq t_{\text{admisibil}} \quad (5.66)$$

$$k = 12,7 + 2,8 \cdot v_{\text{aer}} \quad (5.67)$$

Tabelul 5.7

Cuplul de materiale	$p_a$ [MPa]	Coeficientul de frecare $\mu$		Temperatura admisibila $t_{\text{admisibil}}$ [°C]	
		cu ungere	fara ungere	regim permanent	regim intermitent
Fc / Fc	1 ... 1,8	0,15 ... 0,25	0,02 ... 0,1	300	
Tesatura de bumbac cu rasini sintetice/Ol sau Fc	0,05 ... 1,2	0,4 ... 0,65	0,1 ... 0,2	100	150
Tesatura de azbest cu rasini sintetice/Ol sau Fc	0,35 ... 0,7	0,2 ... 0,4	0,1 ... 0,2	200	300
Bronz sinterizat/Ol sau Fc	0,2 ... 1	0,15 ... 0,25	0,09	180	
Ferodo/otel sau Fc	0,2 ... 0,8	0,2 ... 0,4	0,1 ... 0,5	180	400
Cauciuc cu insertie/Ol sau Fc	0,5 ... 0,8	0,4 ... 0,65	0,1 ... 0,2	250	300

$$h = \frac{\frac{\pi}{4} \cdot (D_e^2 - D_i^2) \cdot s_a}{P_f \cdot q_a} \quad \left[ \frac{\text{mm}^3}{\text{W h}} \right] \quad (5.68)$$

$$i = m + c - 1 \tag{5.69}$$

$$M_f = \frac{1}{3} \cdot \mu \cdot Q \cdot i \cdot \frac{D_e^3 - D_i^3}{D_e^2 - D_i^2} \tag{5.70}$$

$$Q = p_a \cdot \frac{\pi}{4} \cdot (D_e^2 - D_i^2) \tag{5.71}$$

$$M_f = c_i \cdot c_s \cdot M_{t \text{ nominal}}$$

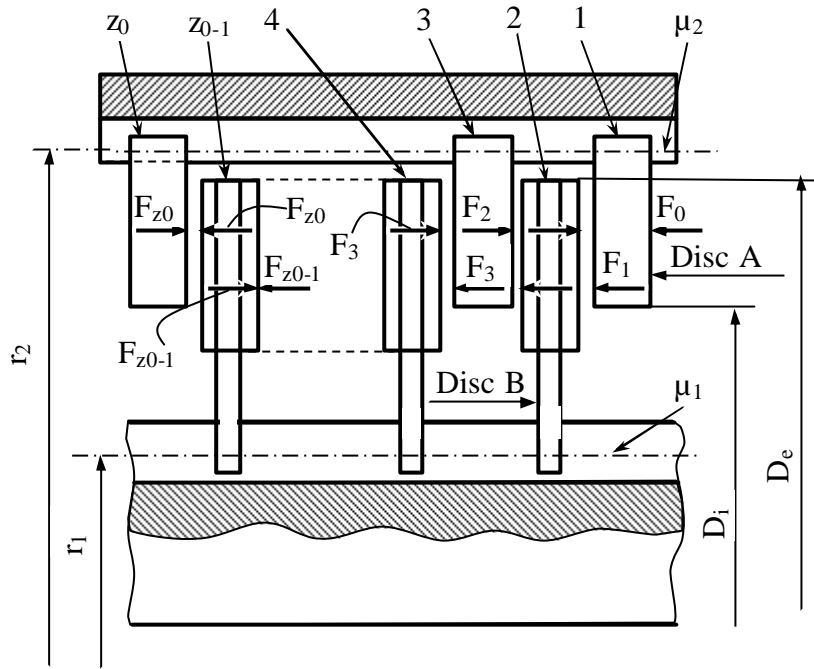


Figura 5.43

$$h = \frac{\pi}{4} \cdot (D_e^2 - D_i^2) \cdot i \cdot s_a \tag{5.72}$$

$$P_f \cdot q_a$$

$$Q = N \cdot (\sin \alpha + \mu \cdot \cos \alpha) \tag{5.73}$$

$$N = \frac{2 \cdot M_f}{\mu \cdot D_m} \tag{5.74}$$

$$N = p_a \cdot \pi \cdot D_m \cdot b \tag{5.75}$$

$$b \geq \frac{N}{\pi \cdot D_m \cdot p_a} \tag{5.76}$$

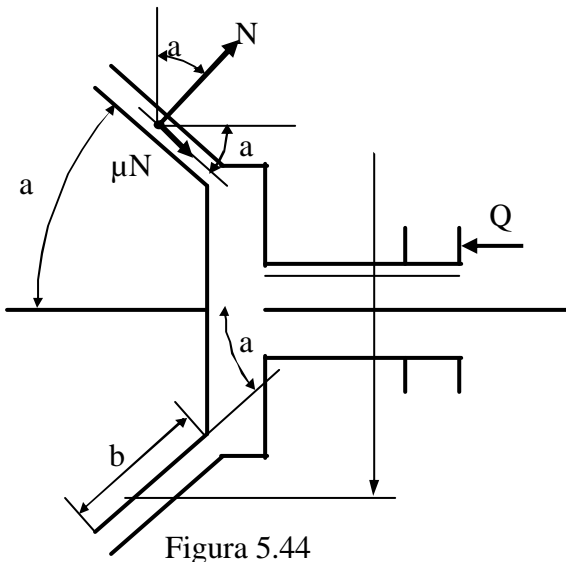


Figura 5.44

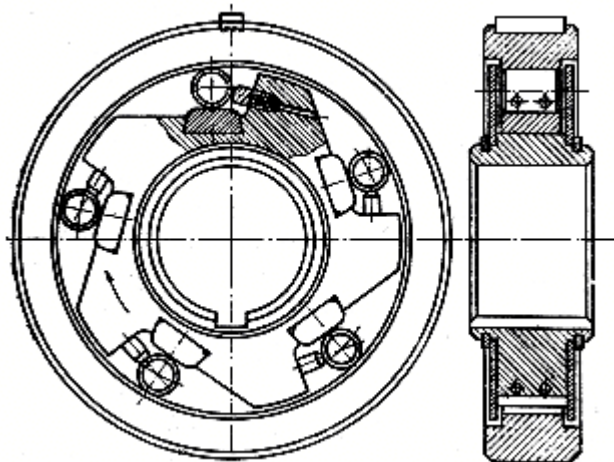


Figura 5.45

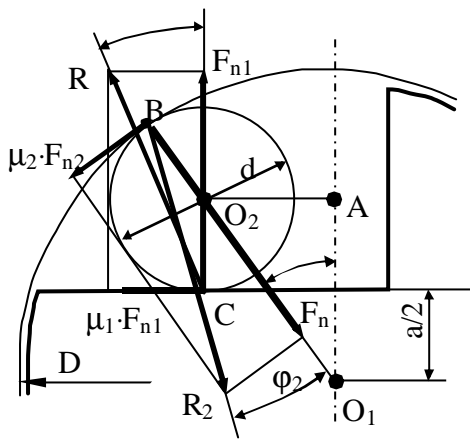


Figura 5.46

$$\frac{D-d}{2} \cdot \cos \alpha = \frac{a+d}{2} \quad (5.77)$$

$$F_0 \cdot (a_1 + a_2) - F_{cf} \cdot b + \mu \cdot F_n \cdot e + F_n \cdot c = 0 \quad (5.78)$$

$$M_f = M_{t \text{ calcul}} \text{ unde:} \quad (5.79)$$

$$M_f = \mu \cdot z \cdot F_n \cdot R \quad (5.80)$$

$$F_{cf} = m \cdot r \cdot \omega^2 \quad (5.81)$$

$$m \cdot r \cdot \omega^2 \cdot b - F_0 \cdot (a_1 + a_2) = \frac{M_{t \text{ calcul}}}{\mu \cdot z \cdot R} \cdot (c + \mu \cdot e) \quad (5.82)$$

$$m \cdot r \cdot \omega_0^2 \cdot b - F_0 \cdot (a_1 + a_2) = 0 \quad (5.83)$$

$$m = \frac{M_{t \text{ calcul}} \cdot (c + \mu \cdot e)}{\mu \cdot z \cdot r \cdot R \cdot b \cdot (\omega^2 - \omega_0^2)} \quad (5.84)$$

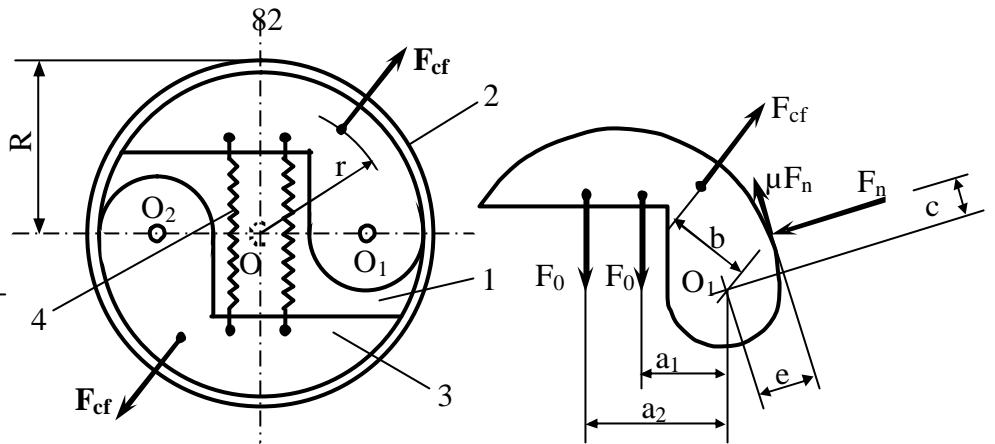


Figura 5.47

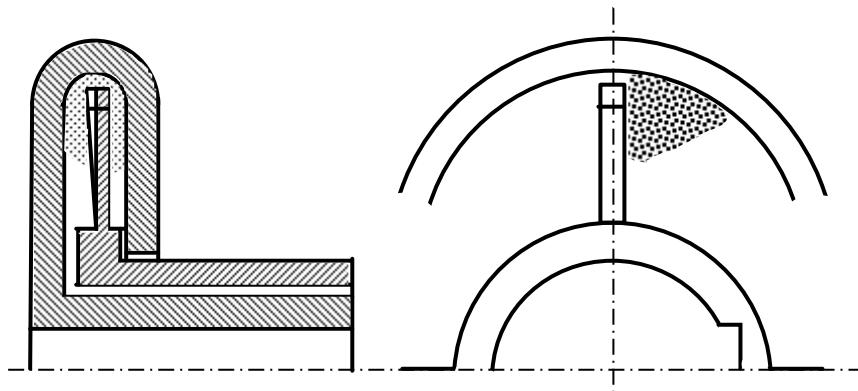


Figura 5.48

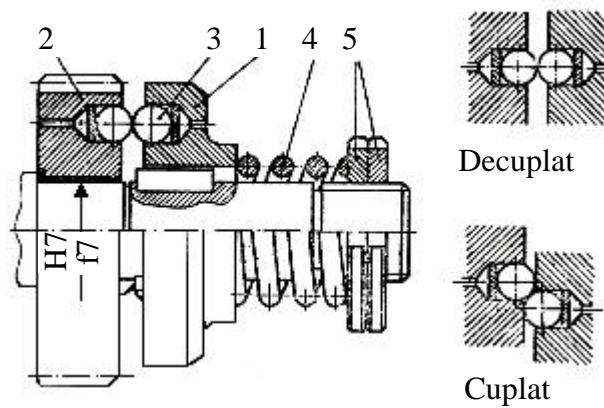


Figura 5.49